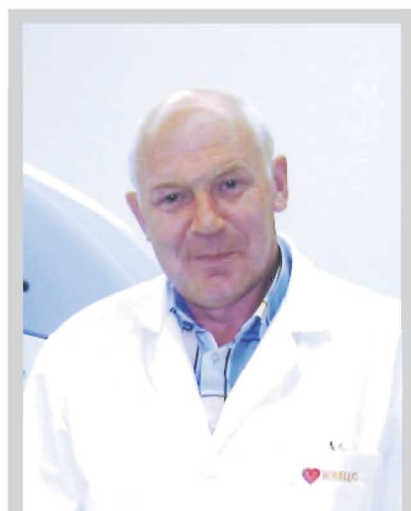


¹Київська міська клінічна лікарня «Київський міський центр серця», Київ

²Національний інститут раку, Київ

ДИФЕРЕНЦІЙНА ДІАГНОСТИКА ДОБРОЯКІСНОГО ТА ЗЛОЯКІСНОГО УРАЖЕННЯ ХРЕБТА ЗА ДОПОМОГОЮ ДОДАТКОВИХ РЕЖИМІВ ОСТЕОСЦИНТИГРАФІЇ



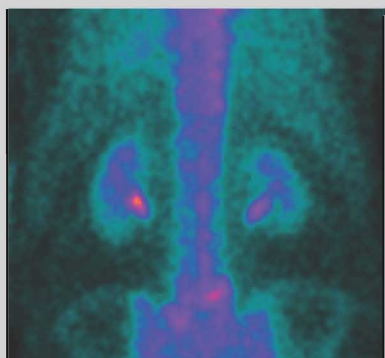
У роботі розглянуто застосування однофотонної емісійної комп'ютерної томографії та суміщеної однофотонної емісійної комп'ютерної томографії з рентгенівською комп'ютерною томографією при диференційній діагностиці метастатичного ураження і добрякісних змін в структурах хребта у пацієнтів онкологічного профілю. Нами було обстежено 27 пацієнтів із злоякісними новоутвореннями, у яких при планарній остеосцинтиграфії було виявлено 40 невизначених ділянок підвищеної фіксації остеотропного радіофармпрепарата в структурах хребта. При однофотонній емісійній комп'ютерній томографії була клінічно підтверджена злоякісна або добрякісна природа 15 ділянок з 18 виявлених, при однофотонній емісійній комп'ютерній томографії з рентгенівською комп'ютерною томографією — 21 ділянки з 22. При цьому специфічність однофотонної емісійної комп'ютерної томографії та однофотонної емісійної комп'ютерної томографії з рентгенівською комп'ютерною томографією становила 83,3 і 95,5% відповідно. Таким чином, застосування однофотонної емісійної комп'ютерної томографії та однофотонної емісійної комп'ютерної томографії з рентгенівською комп'ютерною томографією при ураженні хребта суттєво підвищує ефективність диференційної діагностики добрякісних та злоякісних ділянок, підвищуючи чутливість та специфічність остеосцинтиграфії для виявлення метастатичного ушкодження хребта у пацієнтів онкологічного профілю.

96

В.Ю. Кундін¹, М.В. Сатир¹,
О.І. Солодянникова²

Адреса:

Кундін Валерій Юрійович
КМКЛ «Київський міський центр серця»
02660, Київ, вул. Братиславська, 5А
Tel.: 0 (44) 291-61-16



Ключові слова: остеосцинтиграфія, однофотонна емісійна комп'ютерна томографія, однофотонна емісійна комп'ютерна томографія з рентгенівською комп'ютерною томографією, добрякісні та злоякісні ділянки ураження.

ВСТУП

Метастатичне ураження хребта є досить тяжким ускладненням онкологічних захворювань, яке виникає приблизно у третині хворих на рак. Раннє виявлення уражень кісток є досить важливим для визначення поширеності процесу, вибору оптимального підходу до лікування, що в кінцевому результаті дозволяє покращити прогноз захворювання.

Незважаючи на досить інтенсивний розвиток та уdosконалення променевих методів дослідження, остеосцинтиграфія (ОСГ) залишається основним методом для виявлення ушкоджень кісткової тканини. Висока чутливість ОСГ дозволяє виявити мінімальну ремодулляцію в кісткових структурах [4], але визначити їх природу досить складно, адже підвищення фіксації остеотропного радіофармпрепарата (РФП) відбувається при порушеннях різної етіології. У хворих на рак, зокрема похилого віку, найбільш складної в інтерпретації ОСГ виникають при оцінці сцинтиграфічної картини хребта в зв'язку з великою кількістю дрібних кістково-суглобових структур,

що візуально накладаються одна на одну, а також великою вірогідністю наявності дегенеративно-дистрофічних та артритичних змін. У вирішенні цих питань застосовують додаткові режими ОСГ, що суттєво підвищує специфічність методу, у більшості випадків дозволяє відрізнити добрякісні зміни від злоякісних [3, 4, 5].

Такі можливості надають наступні сцинтиграфічні технології:

1. однофотонна емісійна комп'ютерна томографія (ОФЕКТ), яка дозволяє отримати тривимірне зображення досліджуваної ділянки.

2. суміщене дослідження ОФЕКТ з рентгенівською комп'ютерною томографією (ОФЕКТ/КТ) — дозволяє точно анатомічно локалізувати ділянки підвищеної фіксації РФП в досліджуваних структурах.

Як відомо, основним шляхом поширення пухлинних клітин в кістках є червоний кістковий мозок та венозна система. За даними роботи P. Algra та співавторів [1], деструктивні зміни в хребці рентгенологічно виявляються переважно в задніх відділах тіла хребця з або без роз-

повсюдження на ніжки. Це зумовлено особливостями анатомічної структури та кровопостачання хребців, а саме:

- розташуванням в тілі хребця, переважно в задньому його відділі, кісткового мозку, що має високу інтенсивність кровообігу і може бути джерелом пухлинних клітин (адже 90% метастазів первинно є інтрамедуллярними і виходять з активного червоного кісткового мозку [4]);
- розташуванням по задній поверхні тіл хребців основохребцевих вен, що є основним шляхом гематогенного розповсюдження метастазів;
- наявністю додаткового венозного шляху між тазовими органами та внутрішнім хребтовим венозним сплетінням – сполучення Батсона.

Взаємозв'язок сцинтиграфічних та клінічних даних, що дають можливість

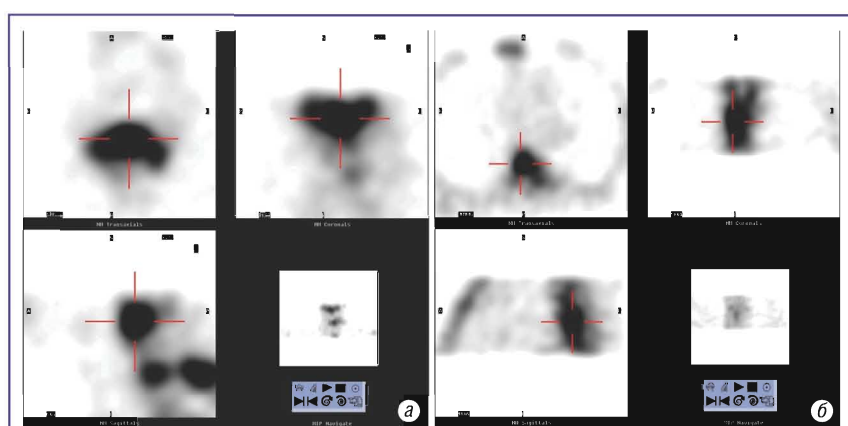


Рис. 1. ОФЕКТ при зложісних змінах у хребці (а — ОФЕКТ шийного відділу хребта: на аксіальних та фронтальних зразках C5 зона інтенсивної гіперфікації РФП візуалізується в тілі хребця з розповсюдженням на обидві ніжки; б — ОФЕКТ грудного відділу хребта: на аксіальних зразках Th4 чітко візуалізується зона гіперфікації РФП в тілі хребця з розповсюдженням на ліву ніжку)

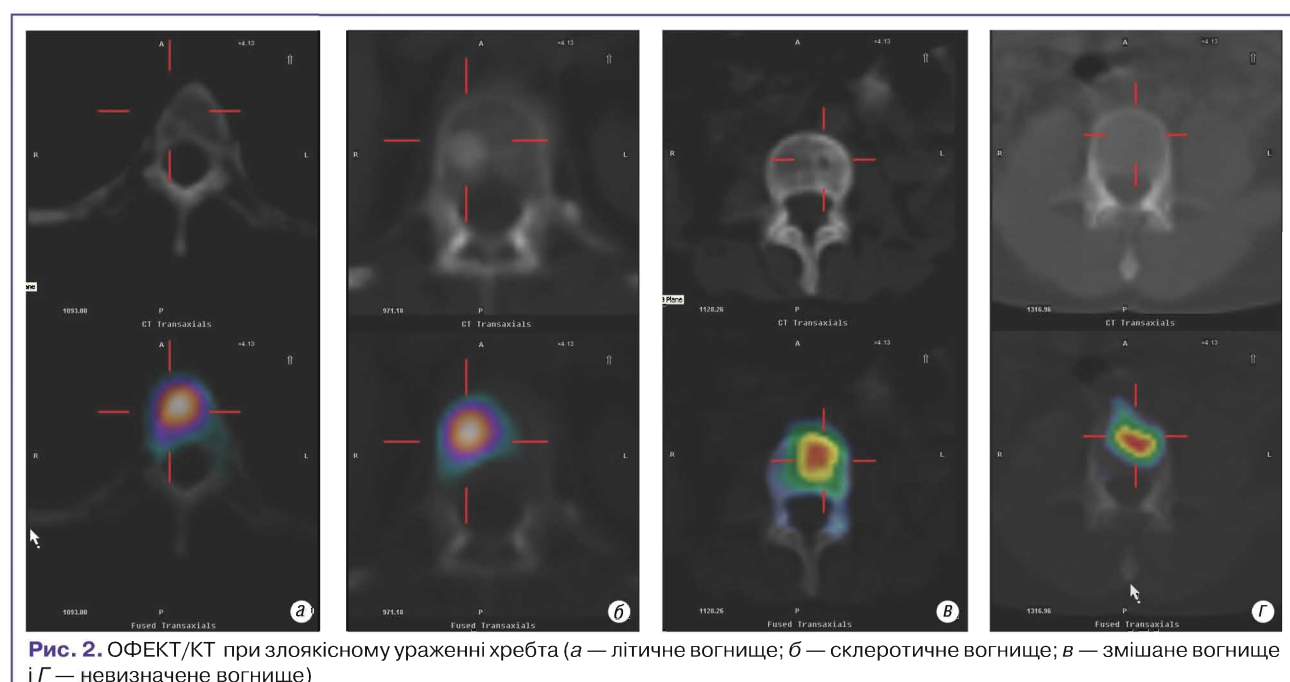


Рис. 2. ОФЕКТ/КТ при зложісному ураженні хребта (а — літичне вогнище; б — склеротичне вогнище; в — змішане вогнище і Г — невизначене вогнище)

97

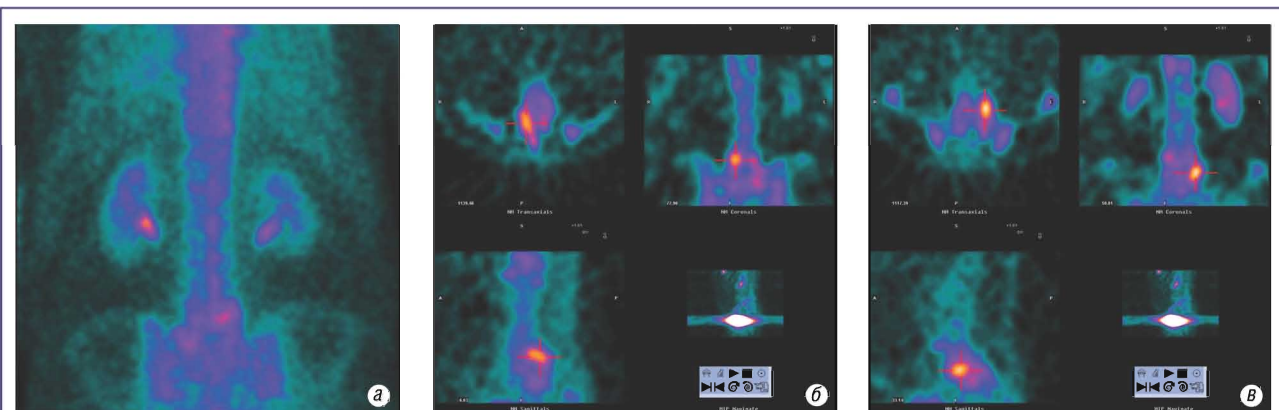


Рис. 3. ОФЕКТ при доброкісних змінах у хребті. На задній планарній проекції (а) виявлено 2 ділянки інтенсивно підвищеної фікації РФП — в L5 та на межі L5-S1 ліворуч. При ОФЕКТ на аксіальних, фронтальних та сагітальних зразках на рівні L5-S1 ліво-руч (б) зона гіперфікації РФП локалізується в латеральному відділі і попереду тіла хребця на рівні міжхребцевого диску, що відповідає дегенеративним змінам зі склеротичним перетворенням замикаючих пластинок тіл хребців і кістковим розростанням по їх контурах з утворенням остеофітів. На аксіальних, фронтальних та сагітальних зразках L5 (в) зона гіперфікації РФП овальної форми, розташована одразу позаду тіла хребця на рівні його правої дуги. Така локалізація відповідає спондилолізу

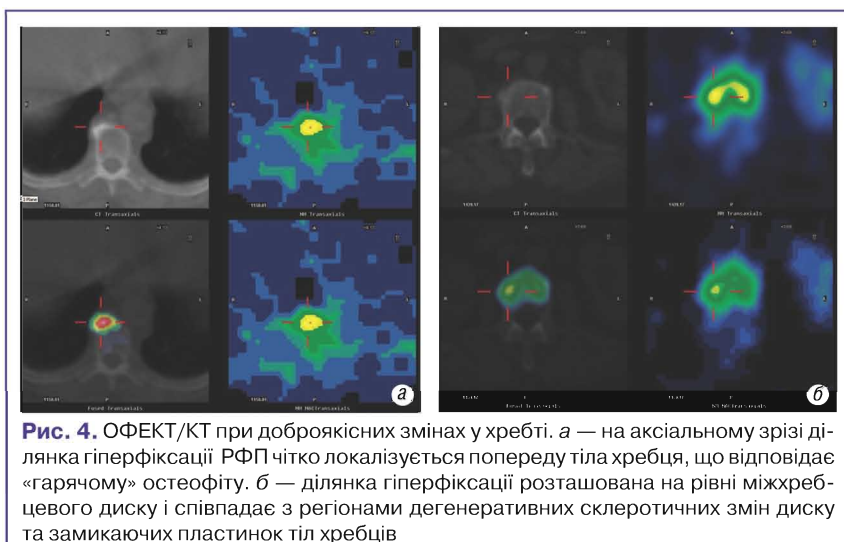


Рис. 4. ОФЕКТ/КТ при доброкісніх змінах у хребті. а — на аксіальному зразі ділянка гіперфіксації РФП чітко локалізується попереду тіла хребця, що відповідає «гарячому» остеофіту. б — ділянка гіперфіксації розташована на рівні міжхребцевого диску і співпадає з регіонами дегенеративних склеротичних змін диску та замикаючих пластинок тіл хребців

диференціювати доброкісні зміни від злойкісних, було вперше досліджено в роботі Е. Even-Sapir та співавторів [3]. Встановлено, що ділянки, розташовані переважно в задніх відділах тіла хребця з переходом на одну або обидві ніжки, у 83% випадків були метастатичними. Ділянки, що локалізувались фокально або дифузно в тілі хребця, переважно мали доброкісну природу (96 та 87% відповідно). Ділянки, що розташувались в апофізейальних суглобах та попереду тіл хребців, були доброкісними в 100% випадків.

Рівень фіксації РФП також враховується при визначені природи вогнища: якщо він вищий за інтенсивність накопичення у передньо-верхній ости зухвинної кістки, вірогідність злойкісної природи вогнища значно більша [5, 9].

Таким чином, існує досить багато досліджень, що дають можливість діагностувати певні доброкісні зміни в хребті за допомогою ОФЕКТ [2, 3, 6, 7, 10]. Але при диференційній діагностиці доброкісних та злойкісних уражень залишається досить багато невизначених результатів, що потребують кореляції з рентгенологічними даними. В останні роки у з'язку з розвитком новітніх технологічних засобів з'явились роботи, що вивчають клінічну значимість застосування сумішеної технології ОФЕКТ/КТ стосовно захворювань кісткової системи [4, 5, 8, 9].

Метою нашої роботи було визначити ефективність застосування ОФЕКТ та ОФЕКТ/КТ при диференційній діагностиці метастатичного ураження і доброкісних змін, виявленіх при стандартній планарній ОСГ в структурах хребта у онкологічних хворих.

ОБ'ЄКТ ТА МЕТОДИ ДОСЛІДЖЕННЯ

Нами було обстежено 27 пацієнтів з онкологічними захворюваннями (12 — рак молочної залози, 9 — аденокарцинома передміхурової залози, 2 — рак легені, 1 — рак нирки, 1 — рак сечового міхура,

1 — колоректальний рак, 1 — лімфома Ходжкіна) віком 31–78 років. Середній вік обстежених становив $56,3 \pm 3,5$ року. Серед 27 хворих було 14 жінок і 13 чоловіків.

Дослідження проводили на двохдетекторній гамма-камері Infinia Hawkeye™ виробництва «GE» з довільною геометрією детекторів та інтегрованим комп’ютерним томографом Hawkeye через 120–180 хв після внутрішньовенного введення 510–740 МБк ^{99m}Tc -технефор («Радіопрепарат», Узбекистан). Обробку і аналіз отриманих даних проводили за допомогою системи обробки та перегляду функціональних зображень Xeleris TM.

При проведенні ОФЕКТ використовували наступні установки: орбіта руху циркулярна, кут обертання — 360°, положення детекторів — під кутом 180° один до одного (H-mode position), напрямок руху детекторів — проти годинникової стрілки, коліматор — низькоенергетичний високого розрішення, матриця 128x128, кількість проекцій — 120, час на збір однієї проекції — 10 с. Установки КТ: 140 кВ, 2,5 mA, товщина зразів — 5 мм. Променеве навантаження коливалось в межах 3–20 мЗв: 3,0–4,4 мЗв — при ОСГ, 5–15 мЗв — при проведенні КТ (залежно від кількості зразів).

Оцінку результатів проводили візуально, за даними реконструйованих аксіальних, фронтальних та сагітальних проекцій ОФЕКТ та відповідних проекцій КТ, а також на суміщених зображеннях.

ОТРИМАНИ РЕЗУЛЬТАТИ ТА ЇХ ОБГОВОРЕННЯ

У всіх пацієнтів при проведенні стандартної планарної ОСГ в режимі «все тіло» (whole body) було виявлено одну або декілька ділянок підвищеної фіксації РФП в хребті, які викликали сумніви щодо їх природи. Загальна кількість таких ділянок — 40. З них 12 пацієнтам, у яких було виявлено 18 ділянок в різних відділах хребта, проводили ОФЕКТ зон, які відповідали цим ділянкам. Решті 15 пацієнтам

(22 ділянки) проводили ОФЕКТ/КТ зони, що містила підозрілі ділянки.

Базуючись на даних літератури [5, 9], а також враховуючи власний досвід, в наших дослідженнях ми визначили такі критерії злойкісності і доброкісності виявлених ділянок при аналізі отриманої інформації.

Критеріями злойкісності ділянки гіперфіксації РФП були:

1. Високий рівень фіксації РФП (вищий за рівень у передньо-верхній ости зухвинної кістки).

2. Локалізація ділянки переважно в задньому відділі тіла та ніжках хребця (рис. 1).

3. Наявність змін на відповідних зразах КТ літичного, бластичного або змішаного характеру (при проведенні ОФЕКТ/КТ) (рис. 2).

4. Клінічне підтвердження наявності метастатичної хвороби при спостереженні в динаміці (підвищення рівня кальцію, появи нових рентгенологічних та сцинтиграфічних ознак наявності метастазів, дані біопсії).

Критеріями доброкісності ділянок гіперфіксації РФП вважали:

- відносно невисокий рівень фіксації РФП (аналогічний або нижчий за рівень у передньо-верхній ости зухвинної кістки);

- локалізацію ділянки попереду тіла хребця, в проекції міжхребцевих суглобів, на рівні дуги хребця (рис. 3).

- наявність змін на відповідних зразах КТ дегенеративного характеру (при проведенні ОФЕКТ/КТ) (рис. 4).

- клінічні ознаки дегенеративних або артритичних змін, відсутність негативної клінічної, рентгенологічної та сцинтиграфічної динаміки при спостереженні протягом 3–6 міс.

У 27 пацієнтів на планарній ОСГ всього тіла було виявлено 40 ділянок підвищеної фіксації РФП в хребті, що були охарактеризовані як сумнівні або невизначені. 12 пацієнтам було проведено ОФЕКТ відділу хребта, що містив такі ділянки (усього 18, з них 2 — в шийному відділі хребта, 5 — в грудному, 11 — в постековому). При аналізі даних ОФЕКТ 8 ділянок було охарактеризовано як доброкісні (відповідно до вищевказаных критеріїв), 7 — злойкісної природи, 3 залишилися невизначеними (при подальшому клінічному спостереженні усі 3 ділянки виявилися злойкісними). Результати представлені в табл. 1.

При проведенні ОФЕКТ/КТ 15 пацієнтам, що мали 22 ділянки гіперфіксації РФП при планарній ОСГ, 8 ділянок було визначено як доброкісні (завдяки їх точній локалізації в суглобових структурах та попереду тіл хребців), інші 13 ділянок було визначено як злойкісні (тобто їм відповідали літичні, склеротичні або змішані вогнища на відповідних суміщених зразах КТ), і тільки 1 ділянка не мала на КТ ніяких відповідних змін, але при повторному дослідженні було підтверджено наявність

Лучевая диагностика, лучевая терапия

метастатичного ураження хребта у даної пацієнтки. Результати дослідження представлені в табл. 2.

При аналізі отриманих даних виявлено високу чутливість додаткових режимів ОСГ (як для ОФЕКТ, так

і для ОФЕКТ/КТ вона становить 100%) та специфічність (83,3 та 95,5%, відповідно).

Таблиця 1 Анатомічна локалізація ділянок гіперфікації РФП при ОФЕКТ та їх відповідність клінічним даним

Пациєнт	Локалізація ділянок, виявлених на планарній ОСГ	Локалізація ділянок при ОФЕКТ	Діагноз (сцинтиграфічно)	Діагноз (клінічний, підтверджений)
1	L4 правий відділ L5	Права дуга хребця Передній відділ тіла хребця	Дефект дуги хребця Остеофіт	Спондилоліз Деформуючий спондильоз
2	L2	Тіло і права ніжка хребця	Злоякісне ураження	Метастатичне ураження (рак лівої легені)
3	Th5 Th10	Центральний і латеральні відділи тіла хребця	Злоякісне ураження? Спондилодискіт?	Метастатичні ураження грудного відділу хребта (аденокарцинома молочної залози)
4	C3 C5	Центральний і передній відділи тіла хребця	Злоякісне ураження	
5	Th7	Центральний і передній відділи тіла хребця	Злоякісне ураження? Спондилодискіт?	Метастатичне ураження шийного відділу хребта (аденокарцинома передміхурової залози)
6	Th10 L2 -L3	Передній відділ тіла хребця Передньо-латеральні відділи тіл хребців на рівні диска	Дегенеративні зміни дисків та замикаючих пластинок хребців	Метастатичне ураження грудного відділу хребта (аденокарцинома передміхурової залози) Деформуючий спондильоз
7	L3	Тіло та права ніжка хребця	Злоякісне ураження	Метастатичне ураження поперекового відділу хребта (рак молочної залози)
	L4-L5 білатерально	Міжхребцеві суглоби, позаду тіл хребців на рівні диска	Артрити дуговідросткових суглобів	Остеоартріт
8	L5 правий відділ	Права дуга хребця	Дефект дуги хребця	Спондилоліз
9	L3	Тіло і права ніжка хребця	Злоякісне ураження	Метастатичне ураження поперекового хребця (рак передміхурової залози)
10	Th5	Тіло і ліва ніжка хребця	Злоякісне ураження	Метастатичне ураження грудного хребця (рак молочної залози)
11	L4-L5 правий відділ	Правий міжхребцевий суглоб	Ураження дуговідросткового суглоба	Остеоартріт
	L5-S1 лівий відділ	Лівий міжхребцевий суглоб	Ураження дуговідросткового суглоба	Остеоартріт
12	L3	Тіло і обидві ніжки	Злоякісне ураження	Метастатичне ураження (аденокарцинома молочної залози)

Таблиця 2 Відповідність структурних та метаболічних змін в ділянках гіперфікації РФП, виявлених за допомогою ОФЕКТ/КТ

Пациєнт	Локалізація ділянок, виявлених на планарній ОСГ	Локалізація ділянок гіперфікації РФП на відповідних зразках КТ	Рентгенологічні зміни, що виявлені на відповідних зразках КТ при суміщенні зображень	Діагноз клінічний (підтверджений)
1	Th7 Th11	Тіло хребця Тіло хребця	Підвищення щільноти кісткової тканини	Метастатичне ураження грудного відділу хребта (аденокарцинома молочної залози)
2	Th5 L2	Тіло та права ніжка Тіло хребця	Літичне вогнище Літичне вогнище	Метастатичне ураження грудного та поперекового відділів хребта (рак молочної залози)
3	Th5 Th10	Тіло і права ніжка хребця Центральний і латеральні відділи тіла хребця	Склеротичне вогнище Склеротичне вогнище	Метастатичне ураження грудного відділу хребта (аденокарцинома молочної залози)
4	Th9-10 L2-3	Центральний і передній відділи тіл хребців та на рівні диску	Дегенеративні зміни дисків та прилеглих до нього тіл хребців	Деформуючий спондильоз
5	Th7	Центральний і задній відділ тіла хребця	Склеротичне вогнище	Метастатичне ураження хребця (рак передміхурової залози)
6	Th9	Центральний відділ тіла хребця	Структурних змін не виявлено	Метастатичне ураження хребця (рак молочної залози)
7	Th5	Тіло та права ніжка хребця	Склеротичне вогнище	Метастатичне ураження хребця (колоректальний рак)
8	L3-L4	Передні відділи тіл хребців на рівні диску	Дегенеративні зміни дисків та прилеглих до нього тіл хребців	Деформуючий спондильоз
9	Th5 L3	Тіло хребця Задній відділ тіла хребця	Змішане вогнище Склеротичне вогнище	Метастатичне ураження грудного та поперекового відділів хребта (рак молочної залози)
10	Th10- Th11	Попереду тіл хребців на рівні диску	Кісткові розростання по контуру тіл хребців	Деформуючий спондильоз
11	Th11 L4	Тіло хребця Тіло хребця	Змішане вогнище Змішане вогнище	Метастатичне ураження грудного та поперекового відділів хребта (рак молочної залози)
	L5-S1 лівий відділ	Лівий міжхребцевий суглоб	Дегенеративні зміни поверхні суглобів	Остеоартріт
12	L2-L3	Міжхребцеві суглоби білатерально	Дегенеративні зміни поверхні суглобів	Остеоартріт
13	L4-L5	Попереду і латерально від тіл хребців на рівні диску	Дегенеративні зміни дисків та прилеглих до нього тіл хребців	Деформуючий спондильоз
14	Th8	Тіло хребця	Змішане вогнище	Метастатичне ураження хребця (рак молочної залози)
15	L2-L3	Латерально від тіл хребців на рівні диску	Дегенеративні зміни дисків та прилеглих до нього тіл хребців	Деформуючий спондильоз

ВІСНОВКИ

1. Додаткові режими ОСГ дозволяють значно підвищити чутливість методу при диференційній діагностиці доброкачісних та злокачісних уражень хребта у пацієнтів онкологічного профілю.

2. Застосування ОФЕКТ та ОФЕКТ/КТ для уточнення просторової локалізації ділянок підвищеного метаболізму в хребті суттєво підвищує специфічність диференційної діагностики доброкачісних та злокачісних ділянок. При цьому специфічність ОФЕКТ/КТ вища за рахунок одночасної оцінки структурних та метаболічних змін в досліджуваних тканинах і становить 95,5%.

3. Застосування ОФЕКТ та ОФЕКТ/КТ зменшує потребу в проведенні повторних або додаткових діагностичних заходів у пацієнтів з високою вірогідністю метастатичного ураження хребта.

ЛІТЕРАТУРА

1. Algra P.R.R., Heimans J.J., Valk J. et al. (1992) Do metastases in vertebrae begin in the body or the pedicles? A.J.R., June, 158: 1275–1279.
2. Collier B.D., Krasnov A.Z., Hellman R.S. (1996) SPECT bone scanning, in Collier B.D., Fogelman I., Rosenblatt L.: *Skeletal nuclear medicine*, St. Louis, MO, Mosby.
3. Even-Sapir E., Martin R.H., Barnes D.C. et.al. (1993) Role of SPECT in differentiating malignant from benign lesions in the lower thoracic and lumbar vertebrae. Radiology, 187: 193–198.
4. Even-Sapir E. (2005) Imaging of malignant bone involvement by morphologic, scintigraphic and hybrid modalities. J. Nucl. Med., 46: 1356–1367.
5. Horger M., Eschmann S.M., Pfannenberg C. et al. (2004) Evaluation of combined transmission and emission tomography for classification of skeletal lesions. A.J.R., 183: 655–661.
6. Love C., Din A.S., Tomas M.B. et.al. (2003) Radionuclide bone imaging: an illustrative review. RadioGraphics, 23(2): 341–358.
7. Maeseneer M., Lenchik L., Everaert H. et al. (1999) Evaluation of lower back pain with bone scintigraphy and SPECT. Radiographics, 19(4): 901–912.
8. Romer W., Nomayr A., Uder M. et.al. (2006) SPECT-guided CT for evaluating foci of increased bone metabolism classified as indeterminate on SPECT in cancer patients. J. Nucl. Med., 47: 1102–1106.
9. Utsunomiya D., Shiraishi S., Imuta M. et al. (2005) Added value of SPECT/CT fusion in assessing suspected bone metastasis: comparison with scintigraphy alone and nonfused scintigraphy and CT. Radiology, 238(1): 264–271.
10. Van der Wall H., Magee M., Reiter L. et.al. (2006) Degenerative spondylosis: a concise report of scintigraphic observations. Rheumatology, 45(2): 209–211.

Дифференциальная диагностика доброкачественного и злокачественного поражения позвоночника с помощью дополнительных режимов остеосцинтиграфии

В.Ю. Кундин¹, М.В. Сатир¹, О.И. Солодянникова²
¹КГКБ «Киевский городской центр сердца»

²Национальный институт рака, Киев

Резюме. В работе рассмотрено применение однофотонной эмиссионной компьютерной томографии и совмещенной однофотонной эмиссионной компьютерной томографии с рентгеновской компьютерной томографией при дифференциальной диагностике метастатического поражения и доброкачественных изменений в структурах позвоночника у пациентов онкологического профиля. Нами было обследовано 27 пациентов со злокачественными новообразованиями, у которых при планарной остеосцинтиграфии было выявлено 40 неопределенных участков повышенной фиксации остеотропного радиофармпрепарата в структурах позвоночника. При однофотонной эмиссионной компьютерной томографии была клинически подтверждена злокачественная или доброкачественная природа 15 участков из 18 выявленных, при совмещенной однофотонной эмиссионной компьютерной томографии с рентгеновской компьютерной томографией — 21 участка из 22. При этом специфичность однофотонной эмиссионной компьютерной томографии и совмещенной однофотонной эмиссионной компьютерной томографии с рентгеновской компьютерной томографией соответственно 83,3 и 95,5% соответственно. Таким образом, применение однофотонной эмиссионной компьютерной томографии и совмещенной однофотонной эмиссионной компьютерной томографии с рентгеновской компьютерной томографией при поражении позвоночника существенно повышает эффективность дифференциальной диагностики доброкачественных и злокачественных участков, повышает чувствительность и специфичность остеосцинтиграфии для выявления метастатического поражения позвоночника у пациентов онкологического профиля.

Ключевые слова: остеосцинтиграфия, однофотонная эмиссионная компьютерная томография, совмещенная однофотонная эмиссионная компьютерная томография с рентгеновской компьютерной томографией, доброкачественные и злокачественные участки поражения.

Differential diagnostic benign and malignant lesions of the spine with different regimes of bone scintigraphy

V.U. Kundin¹, M.V. Satyr¹, O.I. Solodiannikova²

¹Kyiv City Heart Centre, Kyiv

²National Cancer Institute, Kyiv

Summary. In the presented article it is examined the application of single photon emission computer tomography and single photon emission computer tomography integrated with roentgen computer tomography for differential diagnostic benign and malignant changes in the spinal structures of oncological patients. We examined 27 patients with malignant disorders. It was revealed 40 indeterminate sites of increased uptake bone-seeking radiofarmaceutical by planar bone scintigraphy in the spinal structures. Malignant or benign nature 15 from 18 sites was clinically confirmed during the single photon emission computer tomography, and 21 from 22 — during the single photon emission computer tomography and single photon emission computer tomography integrated with roentgen computer tomography. The specificity single photon emission computer tomography and single photon emission computer tomography and single photon emission computer tomography integrated with roentgen computer tomography is 83,3 and 95,5% accordingly. Thus, application single photon emission computer tomography and single photon emission computer tomography and single photon emission computer tomography integrated with roentgen computer tomography in spinal disorders essentially increases efficacy of differential diagnostics of benign and malignant sites, sensitivity and specificity bone scintigraphy for revealing metastatic spinal lesions in the oncological patients.

Key words: bone scintigraphy, single photon emission computer tomography and single photon emission computer tomography integrated with roentgen computer tomography, malignant and benign disorders